

01;05;07;08;12

©1995 г.

**РАСЧЕТ СПЕКТРАЛЬНЫХ ПАРАМЕТРОВ  
АКУСТООПТИЧЕСКОГО ФИЛЬТРА  
НА ОДНООСНОМ ГИРОТРОПНОМ КРИСТАЛЛЕ**

*B.M. Епихин*

Научно-производственное объединение  
 Всесоюзный научно-исследовательский институт  
 физико-технических и радиотехнических измерений,  
 Менделеево, Московская область, Россия  
 (Поступило в Редакцию 18 апреля 1994 г.  
 В окончательной редакции 16 ноября 1994 г.)

В представлении показателей преломления одноосного гиротропного кристалла  $n_1$ ,  $n_2$  поверхностями второго порядка проведен анализ акустооптической дифракции при произвольной ориентации волновых векторов света и звука в кристалле. Получены точные аналитические выражения для частоты звуковой волны как функции длины волны дифрагирующего излучения, углов ориентации волновых векторов и физических констант кристалла. Эти выражения хорошо описывают экспериментальные данные для двухполюризационного акустооптического фильтра на  $\text{TeO}_2$  при введении эффективного параметра гиротропии кристалла  $\delta(\theta)$ , зависящего от угла  $\theta$  между волновым вектором света и оптической осью. Этот факт свидетельствует о том, что при  $\theta > 2^\circ$  угловые зависимости  $n_1$  и  $n_2$  описываются поверхностями более высокого порядка, чем второй. Для двухполюризационного фильтра на  $\text{TeO}_2$  для  $\lambda = 11500 \text{ \AA}$   $\delta(0)/\delta(55.6^\circ) \geq 10$ , и влияние оптической активности парателлурита на спектральные параметры акустооптического фильтра пренебрежимо мало.

В последнее время перестраиваемые акустооптические фильтры (АОФ) на кристалле парателлурита ( $\text{TeO}_2$ ) активно используются в практических устройствах. Как показано в [1,2], значительная величина гиротропии  $\text{TeO}_2$  существенно изменяет характер анизотропной АО дифракции при распространении света вблизи оптической оси. Для диапазона характерных значений углов между волновым вектором излучения и оптической осью  $7^\circ \leq \theta \leq 90^\circ$  в АОФ на  $\text{TeO}_2$  [3] влияние оптической активности  $\text{TeO}_2$  на параметры АОФ пренебрежимо мало. В самом деле, многочисленные эксперименты показывают, что измеренные значения управляющей частоты АОФ отличаются от рассчитанных в приближении нулевой оптической активности [3] на десятые

доли-единицы процентов. Такую же величину различия дают неопределенность физических констант кристалла [4] и технологическая погрешность при изготовлении светозвукопровода ( $\approx 2'$ ). Кроме того, при необходимости можно провести индивидуальную калибровку АОФ по реперным лазерным длинам волн.

Более сложная ситуация возникает при расчете спектральных параметров двухполюризационного АОФ на  $\text{TeO}_2$ , описанного в [5]. Пренебрежение оптической активностью может привести к тому, что центры реальных аппаратных функций для излучения взаимно ортогональных поляризаций в отличие от рассчитанных будут дистанцированы (т.е. будут “разбегаться”) на спектральной шкале, что приведет к уширению суммарной аппаратной функции двухполюризационного АОФ.

Цель данной работы — анализ влияния гиротропии  $\text{TeO}_2$  на спектральные параметры двухполюризационного АОФ и сравнение расчетных данных с экспериментальными.

В работе [1] было сделано предположение, что при распространении света вблизи оптической оси в одноосном гиротропном кристалле (например,  $\text{TeO}_2$ ) угловые зависимости показателей преломления  $n_1$ ,  $n_2$  для собственных мод кристалла (1), (2) имеют вид

$$\frac{n_1^2(\theta) \cos^2(\theta)}{n_0^2(1 + \delta)^2} + \frac{n_1^2(\theta) \sin^2(\theta)}{n_e^2} = 1,$$

$$\frac{n_2^2(\theta) \cos^2 \theta}{n_0^2(1 - \delta)^2} + \frac{n_2^2(\theta) \sin^2 \theta}{n_0^2} = 1,$$

$$\delta = [n_1(0) - n_2(0)]/2n_0 = \rho \cdot \lambda / 2\pi n_0, \quad (1)$$

$\theta$  — угол отклонения волнового вектора световой волны от оптической оси,  $\delta$  — параметр гиротропии,  $\rho$  — удельная вращательная способность кристалла.

Моды (1) и (2) переходят в необыкновенный и обычный лучи соответственно при отсутствии оптической активности.

Предположим, что аналитические зависимости (1) справедливы для всего диапазона углов  $0 \leq \theta \leq 90^\circ$ . Следуя методике, изложенной в [3], получим аналитические выражения для управляющей частоты АОФ  $f$  в зависимости от длины волны фильтруемого излучения  $\lambda$ , ориентации волновых векторов звуковой  $\gamma$  и световой  $\theta, \varphi$  волн, а также физических констант кристалла  $V, n_0, n_e, \rho$ . Для вариантов дифракции  $(1 \rightarrow 2)$  и  $(2 \rightarrow 1)$  имеем

$$f^{1 \rightarrow 2} = \frac{V n_0}{\lambda} A(\gamma) A'(\theta) \left\{ B - [B^2 - C]^{1/2} \right\}, \quad (2)$$

$$f^{2 \rightarrow 1} = \frac{V n_0}{\lambda} A''(\gamma) A''(\theta) \left\{ -D + [D^2 + E]^{1/2} \right\}, \quad (3)$$

где

$$B = A(\gamma) [\cos \gamma \sin \theta \cos \varphi - (1 - \delta)^{-2} \sin \gamma \cos \theta],$$

$$C = (1 - \eta^2) \sin^2 \theta + 4\delta(1 - \delta^2)^{-2} \cos^2 \theta,$$

$$D = A''(\gamma) (\eta'^2 \cos \gamma \sin \theta \cos \varphi - \sin \gamma \cos \theta),$$

$$E = [(1 - \delta^2)^2 - 1] \cos^2 \theta + (1 + \delta^2)[(1 - \delta)^4 - \eta^2] \sin^2 \theta,$$

$$A(\gamma) = (1 - \delta) [\sin^2 \gamma + (1 - \delta)^2 \cos^2 \gamma]^{-1/2},$$

$$A'(\theta) = (1 + \delta) (\cos^2 \theta + \eta'^2 \sin^2 \theta)^{-1/2},$$

$$A''(\gamma) = (\eta^2 \cos^2 \gamma + \sin^2 \gamma)^{-1/2},$$

$$A''(\theta) = (1 - \delta) [\cos^2 \theta + (1 - \delta)^2 \sin^2 \theta]^{-1/2},$$

$$\eta' = \eta(1 + \delta), \quad \eta = n_0/n_e.$$

При  $\delta = 0$   $A(\gamma) = A''(\theta) = 1$  и (2), (3) переходят в соответствующие выражения, полученные в [5] в приближении нулевой оптической активности кристалла.

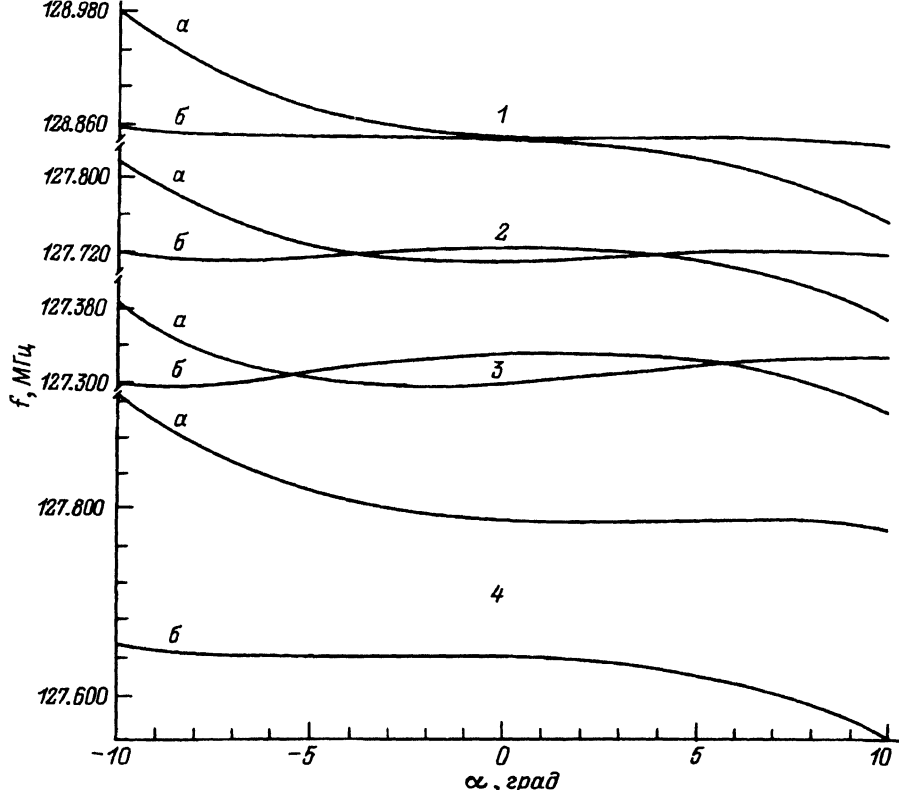
Заметим, что (2), (3) получены без каких-либо дополнительных допущений для произвольной ориентации волновых векторов в кристалле. Следовательно, эти выражения справедливы для любого акустооптического устройства. Для проверки соотношений (2), (3) они использовались при расчете параметров анизотропных дефлекторов на  $\text{TeO}_2$ , описанных в [1] для значений длины волны излучения 4416, 5145, 6328, 11500 Å. Для каждой длины волны излучения вычислялась частота  $f_0$ , соответствующая условию оптимального дефлектора ( $\partial\theta/\partial f = 0$ ). Отличие вычисленных значений  $f_0$  от приведенных в [1] не превышало 2%. Также по формулам (2), (3) были найдены значения  $f_{\min}$  для модулятора на  $\text{TeO}_2$ , описанного в [2], для случаев распространения собственных оптических мод кристалла с  $\lambda = 6328$  Å. Отличие рассчитанных значений от данных, приведенных в [2], не превышало 1%. Таким образом, полученные выражения (2), (3) хорошо описывают экспериментальные данные для малых отклонений волнового вектора света от оптической оси кристалла ( $\theta \leq 2^\circ$ ).

Далее, выражения (2), (3) были использованы для анализа спектральных параметров двухполяризационного АОФ на  $\text{TeO}_2$  на длине волны излучения  $\lambda = 11500$  Å. На рисунке приведены расчетные зависимости резонансной частоты АОФ  $f$  от угла  $\alpha$  между лучом и нормалью к передней грани кристалла светозвукопровода (геометрия взаимодействия и обозначения совпадают в введенными в [5]).

Вычисления проводились для четырех вариантов АОФ со следующими параметрами:  $\gamma = 18.82^\circ$ ,  $\theta = 55.55^\circ$ ,  $\rho = 0$  (кривая 1);  $\gamma = 18.86^\circ$ ,  $\theta = 55.55^\circ$ ,  $\rho \neq 0$  (кривая 2);  $\gamma = 18.90^\circ$ ,  $\theta = 55.55^\circ$ ,  $\rho = 0$  (кривая 3);  $\gamma = 18.86^\circ$ ,  $\theta = 55.55^\circ$ ,  $\rho = 21.7$  град/мм (кривая 4) ( $\delta = 0.315 \cdot 10^{-4}$ ) [6]. Графики зависимостей  $f^{1-2}(\alpha)$  и  $f^{2-1}(\alpha)$  для каждого из вариантов представлены на рисунке кривыми 1-4.

Анализ полученных зависимостей показывает следующее.

1. Для всех вариантов с  $\rho = 0$  графики имеют одну общую особенность, а именно кривые  $f^{1-2}(\alpha)$  и  $f^{2-1}(\alpha)$  для фиксированного  $\gamma$  симметричны в том смысле, что они почти совпадают при сдвиге по оси абсцисс на некоторый постоянный угол. Для количественной оценки можно ввести параметр симметрии  $\xi = (f^{1-2}m - f_m^{2-1})/(f_m) \approx (f_M^{1-2} - f_M^{2-1})/(f_M)$ , где  $f_m$  и  $f_M$  — значения локальных экстремумов кривых  $f(\alpha)$ . Для кривых графиков 1-3  $\xi \approx 10^{-6}$  и не зависит от  $\gamma$ .



Зависимости резонансной частоты двухполяризационного АОФ на  $\text{TeO}_2$  от угла падения луча на переднюю грань кристалла при  $\lambda = 11500 \text{ \AA}$  для четырех вариантов фильтра.

2. Поведение кривых  $f(\alpha)$  очень чувствительно к значению параметра  $\delta$ . При  $\delta \neq 0$  симметрия кривых нарушается — они сдвигаются не только по оси абсцисс, но и по оси ординат. При  $\delta = 0.315 \cdot 10^{-4}$   $\xi \approx 10^{-3}$ . Следовательно, имеет место однозначное соответствие между параметром гиротропии  $\delta$  одноосного кристалла и параметром симметрии  $\xi$  кривых  $f(\alpha)$  двухполяризационного АОФ.

Сравним теперь результаты теории и эксперимента. Типичные экспериментально полученные кривые  $f(\alpha)$  для двухполяризационного АОФ на  $\text{TeO}_2$  приведены в [5]. В этом случае  $\xi_{\text{эксп}} = \Delta f / \langle f \rangle \approx 10^{-4}$ , где  $\Delta f \approx 10 \text{ кГц}$  — погрешность измерений. Таким образом, экспериментальные данные противоречат результатам расчета, сделанного в предположении аналитической зависимости  $n_{1,2}(\theta)$  для больших  $\theta$  в виде (1). Следовательно, поверхности  $n_{1,2}(\theta)$  имеют более сложный вид.

Предположим, теперь, что аналитические зависимости  $n_{1,2}(\theta)$  сохраняют вид (1), однако параметр гиротропии имеет угловую зависимость  $\delta = \delta(\theta)$ . Для согласования экспериментальных данных с расчетными используем отмеченную выше однозначную связь параметров  $\delta$  и  $\xi$  и сделаем верхнюю оценку значения эффективного параметра гиротропии  $\text{TeO}_2$  для  $\theta \approx 55.6^\circ$ . Получаем  $\delta(55.6^\circ) = \delta(0)/k$ , при  $k \geq 10$   $\xi \leq \xi_{\text{эксп}} = 10^{-4}$ .

## Выводы

1. Влияние гиротропии  $\text{TeO}_2$  на АО дифракцию для больших углов отклонения волновых векторов излучения от оптической оси ( $\theta > 2^\circ$ ) можно рассматривать в рамках традиционного подхода [1] с эффективным параметром гиротропии, зависящим от  $\theta$ .

2. Для двухполяризационного АОФ на  $\text{TeO}_2$  для  $\lambda = 11500 \text{ \AA}$  эффективный параметр гиротропии  $\delta(55.6^\circ)$  по крайней мере на порядок меньше параметра гиротропии кристалла  $\delta(0)$ . Для практических применений влияние оптической активности  $\text{TeO}_2$  на спектральные параметры двухполяризационного АОФ пренебрежимо мало.

## Список литературы

- [1] Warner A.W., White D.L., Bouner W.A. // J. Appl. Phys. 1972. Vol. 43. N 11. P. 4489-4495.
  - [2] Антонов С.Н., Котов В.М., Сотников В.Н. // ЖТФ. 1991. Т. 61. Вып. 1. С. 168-173.
  - [3] Епихин В.М., Визен Ф.Л., Галь В.В., Калинников Ю.К. // ЖТФ. 1984. Т. 54. Вып. 12. С. 2410-2414.
  - [4] Блистанов А.А., Бондаренко В.С., Чкалова В.В. и др. Акустические кристаллы. Справочник. М., 1982. 633 с.
  - [5] Епихин В.М., Визен Ф.Л., Пальцев Л.Л. // ЖТФ. 1987. Т. 57. Вып. 10. С. 1910-1917.
  - [6] Uchida N. // Phys. Rev. B. 1971. Vol. 4. N 10. P. 3736-3745.
-